

文章编号: 1000-7423(2011)-02-0093-06

【论著】

芍药苷通过 IL-13/STAT6 信号转导通路抑制成纤维细胞产生胶原

杜明占¹, 沈继龙², 吴强¹, 胡向阳¹, 储德勇^{2*}

【摘要】 目的 观察芍药苷通过白细胞介素 13 (IL-13)信号转导通路调控 3T3 成纤维细胞的细胞激活、增殖和胶原产生。**方法** 分别用不同浓度的芍药苷(200、400、600、800 和 1 000 mg/L)或重组白介素 13 (rIL-13, 6.25、12.5、50、100 和 200 μg/L), 在体外刺激经无血清培养基培养 12 h 的 3T3 细胞, 同时设空白对照组。培养 24 h 后, 用细胞计数试剂盒-8 (CCK-8)检测 rIL-13 和芍药苷对细胞增殖的影响, 并根据其结果选择 1 个适宜的 rIL-13 刺激浓度。用该浓度 rIL-13 (100 μg/L)刺激无血清培养基培养 12 h 的 3T3 细胞 12 h 后, 再分别加入不同浓度的芍药苷(200、400、600、800 和 1 000 mg/L), 继续培养 24 h, 同时设空白对照组。用 CCK-8 法检测细胞增殖情况, 碱裂解法测定培养上清羟脯氨酸含量。蛋白质印迹(Western blotting)分析 α-平滑肌肌动蛋白(α-SMA)、白介素 13 受体 α1 (IL-13Rα1)和信号转导和转录激活因子 6(STAT6)的表达情况。RT-PCR 检测细胞 I 型胶原(Col-I)、Ⅲ型胶原(Col-III)、IL-13Rα1 和 STAT6 的 mRNA 水平。**结果** 芍药苷能浓度依赖性地抑制 3T3 细胞增殖($r=-0.980$, $P<0.01$), 且各浓度组间差异有统计学意义 ($F=198.599$, $P<0.01$)。rIL-13 能明显促进 3T3 细胞增殖($r=0.538$, $P<0.05$)。芍药苷(200、400、600、800 和 1 000 mg/L)能浓度依赖性地抑制 rIL-13 刺激的 3T3 细胞增殖(1.780 ± 0.177 、 1.636 ± 0.073 、 0.965 ± 0.066 、 0.623 ± 0.037 和 0.337 ± 0.022 , $r=-0.971$, $P<0.01$), 且各浓度组间差异有统计学意义 ($F=198.537$, $P<0.01$)。芍药苷还能浓度依赖性地抑制 rIL-13 刺激的 3T3 细胞分泌羟脯氨酸 (3.030 ± 0.094 、 2.976 ± 0.047 、 2.814 ± 0.047 、 2.652 ± 0.124 和 2.408 ± 0.124 , $r=-0.916$, $P<0.01$), 且各浓度组间差异有统计学意义 ($F=13.642$, $P<0.01$)。Western blotting 分析结果显示, 芍药苷能抑制 rIL-13 刺激的 3T3 细胞 α-SMA、IL-13Rα1 和 STAT6 蛋白的表达。RT-PCR 结果显示, 芍药苷能抑制 rIL-13 刺激的 3T3 细胞 Col-I、Col-III、IL-13Rα1 和 STAT6 mRNA 的转录水平。**结论** 芍药苷通过 IL-13/STAT6 信号转导通路抑制成纤维细胞增殖、激活和胶原的产生, 可能是芍药苷抗日本血吸虫病肝纤维化的机制之一。

【关键词】 芍药苷; 成纤维细胞; IL-13; IL-13Rα1; I 型胶原; Ⅲ型胶原

中图分类号: R532.21

文献标识码: A

Inhibitory Effect of Paeoniflorin on the Collagen Production by Fibroblasts through IL-13/STAT6 Signaling Pathway

DU Ming-zhan¹, SHEN Ji-long², WU Qiang¹, HU Xiang-yang¹, CHU De-yong^{2*}

(1 Department of Pathology; 2 Department of Microbiology and Parasitology, Anhui Key Laboratory of Microbiology and Parasitology, Anhui Key Laboratory of Zoonoses, Anhui Medical University, Hefei 230032, China)

【Abstract】 Objective To observe the effects of paeoniflorin on 3T3 fibroblast activation, proliferation and collagen production through IL-13/STAT6 signaling pathway. **Methods** 3T3 cell strain was cultured with serum-free medium for 12 h, then stimulated by paeoniflorin (200, 400, 600, 800, and 1 000 mg/L) or rIL-13 (6.25, 12.5, 50, 100, and 200 μg/L) for another 24 h. At the same time the blank control group for paeoniflorin or rIL-13 was observed. 3T3 cell proliferation was assayed by Cell Counting Kit-8 (CCK-8), and an appropriate concentration (100 μg/L) of rIL-13 was chosen according to the result of cell proliferation. Subsequently, 3T3 cell cultured with serum-free medium for 12 h was stimulated by 100 μg/L rIL-13 for 12 h, and then was treated with different concentrations of paeoniflorin (200, 400, 600, 800, and 1 000 mg/L) for another 24 h. Untreated 3T3 cell served as blank control. Cell proliferation was measured by CCK-8. Hydroxyproline content in cell supernatant was determined by alkaline lysis method. IL-13Rα1, α-SMA and STAT6 protein expression were detected

基金项目: 国家自然科学基金 (No. 30872209); 安徽省高等学校省级自然科学研究项目 (No. KJ2008B282); 安徽医科大学博士学术、科研活动资助项目 (No. XJ200708); 教育部高等学校博士学科点专项科研基金 (No. 20080360003)

作者单位: 安徽医科大学 1 病理学教研室; 2 病原生物学教研室, 安徽病原生物学省级实验室, 人兽共患病安徽省重点实验室, 合肥 230032

* 通讯作者, E-mail: chudeyong@126.com

by Western blotting. Col-I, Col-III, IL-13R α 1 and STAT6 mRNA expression were analyzed by RT-PCR. **Results** Paeoniflorin inhibited 3T3 cell proliferation in a concentration-dependent manner ($r=-0.980, P<0.01$), and there was a statistically significant difference among all groups ($F=198.599, P<0.01$). rIL-13 caused a remarkably concentration-dependent increase in proliferation of 3T3 cells ($r=0.538, P<0.05$). Paeoniflorin (200, 400, 600, 800, and 1 000 mg/L) inhibited proliferation of 3T3 cell stimulated by rIL-13 in a concentration-dependent manner ($1.780\pm0.177, 1.636\pm0.073, 0.965\pm0.066, 0.623\pm0.037, 0.337\pm0.022, r=-0.971, P<0.01$), and among all groups there existed a significant difference ($F=198.537, P<0.01$). Moreover, paeoniflorin also suppressed secretion of hydroxyproline from 3T3 cell stimulated by rIL-13 in a concentration-dependent manner ($3.030\pm0.094, 2.976\pm0.047, 2.814\pm0.047, 2.652\pm0.124, 2.408\pm0.124, r=-0.916, P<0.01$) with a statistical significance among all groups ($F=13.642, P<0.01$). Further investigations showed that paeoniflorin decreased both protein expression of α -SMA, IL-13R α 1, and STAT6, and mRNA expression of Col-I, Col-III, IL-13R α 1, and STAT6 in 3T3 cell stimulated by rIL-13. **Conclusion** Paeoniflorin inhibits activation, proliferation of fibroblasts and production of collagen from fibroblasts through IL-13/STAT6 signaling pathway, which might be one of mechanisms of anti-hepatic fibrosis of paeoniflorin in schistosomiasis japonica.

【Key words】 Paeoniflorin; Fibroblast; Interleukin-13; Interleukin-13R α 1; Collagen I ; Collagen III

Supported by the National Natural Science Foundation of China (No. 30872209); Anhui Provincial Higher Education Science Research Project (No. KJ2008B282), Doctoral Fund of Anhui Medical University (No. XJ200708) and Specialized Research Fund for the Doctoral Program of Higher Education (No. 200803660003)

* Corresponding author, E-mail: chudeyong@126.com

目前,各种细胞因子参与的组织纤维化,日益受到人们的关注。其中白细胞介素13(IL-13)是调控纤维化最主要的Th2细胞因子之一^[1-3]。研究表明,IL-13与成纤维细胞表面的复合受体IL-4R/IL-13R α 1结合,导致细胞内转录激活因子6(STAT6)磷酸化,磷酸化后的STAT6在胞浆中形成同源二聚体,后者转位于细胞核,与核基因的转录起始位点结合,促进与胶原有关的基因转录^[4]。因此,IL-13通过IL-13/STAT6信号转导通路在组织纤维化过程中,起着关键性的促进作用^[5]。

芍药苷(paeoniflorin, PAE)是芍药主要的活性单体成分。芍药苷在体内吸收、消除较快^[6],毒性极低,具有抗炎、免疫调节和神经保护等作用^[7]。已有研究表明,芍药苷能有效抑制血吸虫病引起的肝脏纤维化,减小虫卵引起的肉芽肿结节^[8,9],但芍药苷抗肝纤维化的作用机制尚不清楚。本研究以重组白细胞介素13(rIL-13)刺激成纤维细胞,再用不同浓度的芍药苷干预该细胞,观察细胞增殖、羟脯氨酸(HYP)分泌,以及兔抗小鼠 α -平滑肌肌动蛋白(α -SMA)、白细胞介素13受体 α 1(IL-13R α 1)和STAT6蛋白表达情况,以及I型胶原(Col-I)、Ⅲ型胶原(Col-III)、IL-13R α 1和STAT6 mRNA的转录水平,了解芍药苷是否通过抑制IL-13/STAT6信号转导通路而最终抑制成纤维细胞的增殖、激活和胶原产生,为芍药苷用于抗纤维化治疗提供理论和实验依据。

材料与方法

1 材料

1.1 细胞株 3T3细胞株购自中国科学院上海细胞库,于37℃、5% CO₂孵箱中常规培养。待细胞长满瓶底70%~80%,胰酶消化后,转移至新的含10%胎牛血清、10⁵ U/L青霉素和10⁵ U/L链霉素的DMEM培养液的培养瓶内继续培养。待细胞再次长满瓶底70%~80%后,取部分细胞于液氮中冻存,部分用于以下实验。实验前,各组细胞按一定浓度均匀铺在培养瓶或96孔培养板中,待细胞完全贴壁后,以无血清的DMEM培养液培养12 h。

1.2 引物 各引物均使用Premier primer 5.0软件,根据GenBank中相应基因的cDNA序列设计,由宝生物工程(大连)有限公司合成(表1)。以甘油醛-3-磷酸脱氢酶(GAPDH)基因作为内参。

1.3 主要试剂 芍药苷(纯度>90%,批号为2008-1005)购自安徽宣城百草植物工贸有限公司,达尔伯克(氏)改良伊格尔(氏)(DMEM)培养基购自美国Gibco公司,胎牛血清购自杭州四季青生物工程有限公司,细胞计数试剂盒-8(CCK-8)购自日本Dojindo公司,乳酸脱氢酶检测试剂盒和羟脯氨酸检测试剂盒(碱水解法)购自南京建成生物工程研究所,rIL-13购自英国Peprotech公司,兔抗小鼠白细胞介素13受体 α 1(IL-13R α 1)、兔抗小鼠信号转导和转录激活因子6(STAT6)、兔抗小鼠 α -平滑肌肌动蛋白(α -SMA)和兔抗小鼠 β -辅肌动蛋白(β -actin)抗体购自英国Abcam公司,辣根过氧化物酶(HRP)标记的抗兔IgG购自北京中杉金桥生物技术有限公司,逆转录试剂盒购自美

表 1 Col-I、Col-III、IL-13R α 1、STAT6 和 GAPDH 的基因引物序列
Table 1 Primer sequences of Col-I, Col-III, IL-13R α 1, STAT6 and GAPDH gene

基因 Gene	引物序列(5'→3') Primer sequence	产物 (bp) Product	退火温度(℃) Annealing temperature	GenBank 登录号 GenBank accession number
I型胶原 Col-I	GCCCCGGAAGAAATACG ACATCTGGGAAGCAAA	204	53	NM007742
III型胶原 Col-III	GCTGCCATTGTTGGACTTG TGCTTACGTGGACAGTCAT	335	52	BC052398
白细胞介素 13 受体 α 1 IL-13R α 1	TCAAACCGACCGACAT CTGCCACTGCGACAA	278	47	NM133990
信号转导和转录激活因子 6 STAT6	GCTGATAAGCCGTCTGG GGGCACCGTGTGTC	271	58	NM009284
甘油醛-3-磷酸脱氢酶 GAPDH	TCAACGGCACAGTCAGG AAGTCGCAGGAGACAACC	691	55	BC095932

国 Promega 公司, TRIzol 购自英国 Invitrogen 公司, 耐热性 DNA 聚合酶、三磷酸脱氧核糖核苷酸(dNTPs)和 DNA 标志物(DL 2000)购自日本 TaKaRa 公司。

2 方法

2.1 乳酸脱氢酶释放法检测芍药苷对 3T3 细胞的毒性作用 3T3 细胞在无血清的 DMEM 中培养 12 h 后, 各组分别加入不同浓度的芍药苷(200、400、600、800 和 1 000 mg/L), 同时设空白对照组, 并以正常细胞组后续裂解作为阳性对照组, 每组设 6 个复孔, 继续培养 24 h。根据乳酸脱氢酶检测试剂盒操作说明检测细胞上清中乳酸脱氢酶(LDH)的含量, 根据用药组与空白对照组细胞上清 LDH 含量间的差异是否有统计学意义, 判断芍药苷对 3T3 细胞是否有毒性作用。

2.2 芍药苷对 3T3 细胞生长的影响 3T3 细胞在无血清的 DMEM 中培养 12 h 后, 各组分别加入不同浓度芍药苷(200、400、600、800 和 1 000 mg/L), 同时设空白对照组, 每组设 6 个复孔, 继续培养 24 h 后, 每孔加 10 μ l CCK-8 试剂, 再继续培养 2 h, 测量吸光度(A_{450} 值)。

2.3 rIL-13 对 3T3 细胞生长的影响 3T3 细胞在无血清的 DMEM 中培养 12 h 后, 各组分别加入不同浓度的 rIL-13 (6.25、12.5、25、50、100 和 200 μ g/L), 同时设空白对照组, 每组设 6 个复孔, 继续培养 24 h 后, 每孔加 10 μ l CCK-8 试剂, 按试剂盒说明操作, 再继续培养 2 h, 测定 A_{450} 值。

2.4 芍药苷对 rIL-13 刺激的细胞增殖、激活、胶原产生和细胞信号转导通路相关分子的影响 3T3 细胞在无血清的 DMEM 中培养 12 h 后, 分为 A、B、C、D、E、F 和 G 等 7 组, A 组为空白对照组, 每组设 6 个复孔。A 组加入生理盐水, 其余各组加入 100 μ g/L

rIL-13, 培养 12 h; 在 C、D、E、F 和 G 组中分别加入 200、400、600、800 和 1 000 mg/L 芍药苷溶液, 培养 24 h 后, 进行下列检测。

2.4.1 细胞增殖的检测 每孔加 10 μ l CCK-8 试剂, 继续培养 2 h, 测量 A_{450} 值。

2.4.2 细胞上清羟脯氨酸的检测 取培养上清 1.0 ml, 根据羟脯氨酸检测试剂盒操作说明检测上清中羟脯氨酸含量。

2.4.3 蛋白质印迹 (Western blotting) 分析 弃培养上清, 收集细胞, 提取蛋白, 并对蛋白进行定量。取 20 μ g 蛋白, 经十二烷基磺酸钠-聚丙烯酰胺凝胶电泳(SDS-PAGE)分离后, 用甲醇浸泡过的 PVDF 膜转印、用含 5% 脱脂奶粉的 PBST 缓冲液封闭 1 h, TBS 洗涤, 分别加入兔抗小鼠 α -SMA (1 : 50 000)、IL-13R α 1 (1 : 1 000)、STAT6 (1 : 1 000) 和 β -actin (1 : 1 000) 抗体, 4 ℃下封闭过夜。TBS 洗涤后, 加抗兔 HRP-IgG(1 : 20 000), TBS 洗涤。暗室中以 X-胶片(柯达公司)感光、显相和固定。

2.4.4 RT-PCR 检测 尽弃培养上清, 收集细胞, 用 TRIzol 试剂盒提取细胞总 RNA, 用以合成 cDNA 第 1 链, 并以 cDNA 第 1 链为模板进行 PCR, 反应条件为: 94 ℃ 5 min; 94 ℃ 45 s, 55 ℃ (各基因退火温度见表 1) 45 s, 72 ℃ 45 s, 共 30 个循环; 72 ℃ 10 min。取 5 μ l PCR 产物行琼脂糖凝胶电泳, 紫外灯下观察结果, 采用凝胶成像系统扫描图像并得出各 mRNA 条带吸光度, 该值与内参 GAPDH mRNA 条带的吸光度进行比较, 计算 Col-I、Col-III、IL-13R α 1、STAT6 mRNA 的相对表达量。

3 统计学分析

采用 SPSS 13.0 软件进行统计学分析, 多组之间比较采用直线相关分析和单因素方差分析。

结 果

1 芍药苷抑制 3T3 细胞的增殖

随着芍药苷浓度的增加，加入 CCK-8 试剂后， A_{450} 值逐渐降低， A_{450} 值与芍药苷浓度之间具有相关性($r=-0.980, P<0.01$)，且各浓度组间 A_{450} 值差异有统计学意义($F=198.599, P<0.01$) (表 2)。说明芍药苷可浓度依赖性地抑制成纤维细胞的增殖。

表 2 不同浓度的芍药苷对细胞增殖及细胞毒性的影响

Table 2 Effect of paeoniflorin at different concentrations on cell proliferation and toxicity

芍药苷浓度 Paeoniflorin concentration (mg/L)	细胞增殖(A_{450} 值) Proliferation (A_{450} value)	细胞毒性(A_{450} 值) Toxicity(A_{450} value)
阳性对照	-	1.477±0.041
空白对照	0.954±0.030	0.222±0.015
200	0.887±0.037	0.213±0.029
400	0.779±0.018	0.230±0.013
600	0.686±0.021	0.215±0.042
800	0.601±0.042	0.211±0.040
1 000	0.457±0.037	0.202±0.025

2 芍药苷在给定药物浓度内对 3T3 细胞无毒性作用

LDH 释放法检测芍药苷对 3T3 细胞的毒性作用的结果表明，随着芍药苷浓度的增加， A_{450} 值无明显变化， A_{450} 值与芍药苷浓度之间无相关性($r=-0.215, P>0.05$)，且除阳性对照组外，各浓度组 A_{450} 值间的差异无统计学意义($F=0.416, P>0.05$) (表 2)。说明芍药苷溶液浓度为 0~1 000 mg/L 时，对 3T3 细胞无毒性作用，可用该浓度范围的芍药苷进行细胞实验。

3 rIL-13 促进 3T3 细胞的增殖

随着 rIL-13 浓度的增加，加入 CCK-8 试剂后， A_{450} 值显著增加，且 A_{450} 值与 rIL-13 浓度之间具有相关性($r=0.538, P<0.05$) (图 1)。说明 rIL-13 可浓度依赖性地直接促进成纤维细胞的增殖。

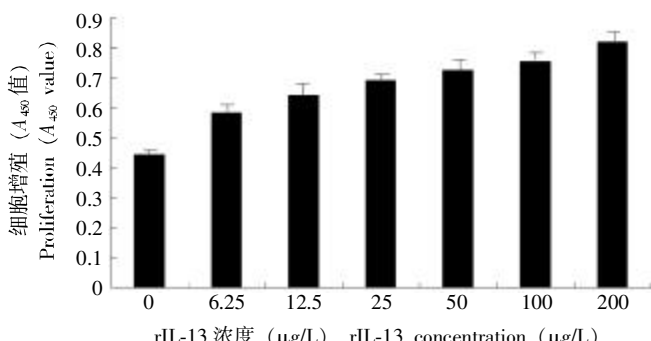


图 1 不同浓度的 rIL-13 对 3T3 细胞增殖的影响

Fig.1 Effect of rIL-13 at different concentrations on proliferation of 3T3 cells

4 芍药苷抑制 rIL-13 刺激的 3T3 细胞的增殖

以 100 μg/L rIL-13 刺激 3T3 细胞后，加入芍药苷干预。随着芍药苷浓度的增加， A_{450} 值逐渐降低， A_{450} 值与芍药苷浓度之间具有相关性($r=-0.971, P<0.01$)，且各组间 A_{450} 值差异有统计学意义($F=198.537, P<0.01$) (表 3)。说明芍药苷可浓度依赖性地抑制经 rIL-13 刺激的成纤维细胞增殖。

表 3 不同浓度的芍药苷对 rIL-13 刺激的细胞增殖及羟脯氨酸分泌的影响

Table 3 Effect of paeoniflorin on cell proliferation and hydroxyproline secretion from cells stimulated by rIL-13

组别 Group	rIL-13 浓度 rIL-13 concentration (μg/L)	芍药苷浓度 PAE concentration (μg/L)	细胞增殖 (A_{450} 值) Proliferation (A_{450} value)	羟脯氨酸含量 Hydroxyproline content (μg/mg)
A 组 Group A	0	0	1.465±0.148	2.716±0.115
B 组 Group B	100	0	1.980±0.130	3.328±0.281
C 组 Group C	100	200	1.780±0.177	3.030±0.094
D 组 Group D	100	400	1.636±0.073	2.976±0.047
E 组 Group E	100	600	0.965±0.066	2.814±0.047
F 组 Group F	100	800	0.623±0.037	2.652±0.124
G 组 Group G	100	1 000	0.337±0.022	2.408±0.124

5 芍药苷能抑制 rIL-13 刺激的 3T3 产生羟脯氨酸

3T3 细胞经 100 μg/L rIL-13 刺激后，随着加入的芍药苷浓度增加，细胞培养上清中羟脯氨酸含量逐渐降低，与芍药苷浓度之间具有相关性($r=-0.916, P<0.01$)，且各组间差异有统计学意义($F=13.642, P<0.01$) (表 3)。

6 芍药苷能抑制经 rIL-13 刺激的 3T3 细胞表达 α-SMA、IL-13R α 1 和 STAT6 蛋白

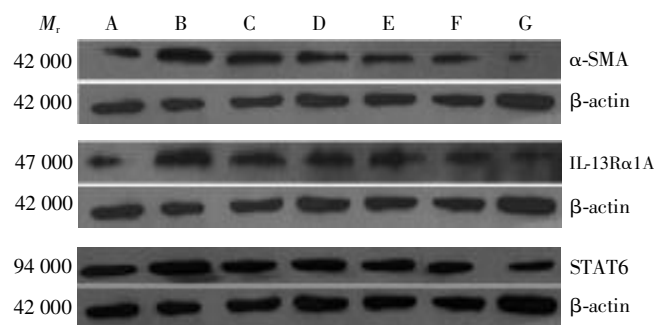
3T3 细胞在 100 μg/L rIL-13 刺激后，α-SMA、IL-13R α 1 和 STAT6 蛋白表达显著增加，加入芍药苷后，随着芍药苷浓度的增加，各组相应的蛋白表达量逐渐减少 (图 2)。

7 芍药苷能抑制经 rIL-13 刺激的 3T3 细胞表达 Col-I、Col-III、IL-13R α 1 和 STAT6 mRNA

3T3 细胞经 100 μg/L rIL-13 刺激后，Col-I、Col-III、IL-13R α 1 和 STAT6 的转录水平显著升高，而加入芍药苷后，随着芍药苷浓度的增加，各组相应的 mRNA 转录水平逐渐降低 (图 3)。

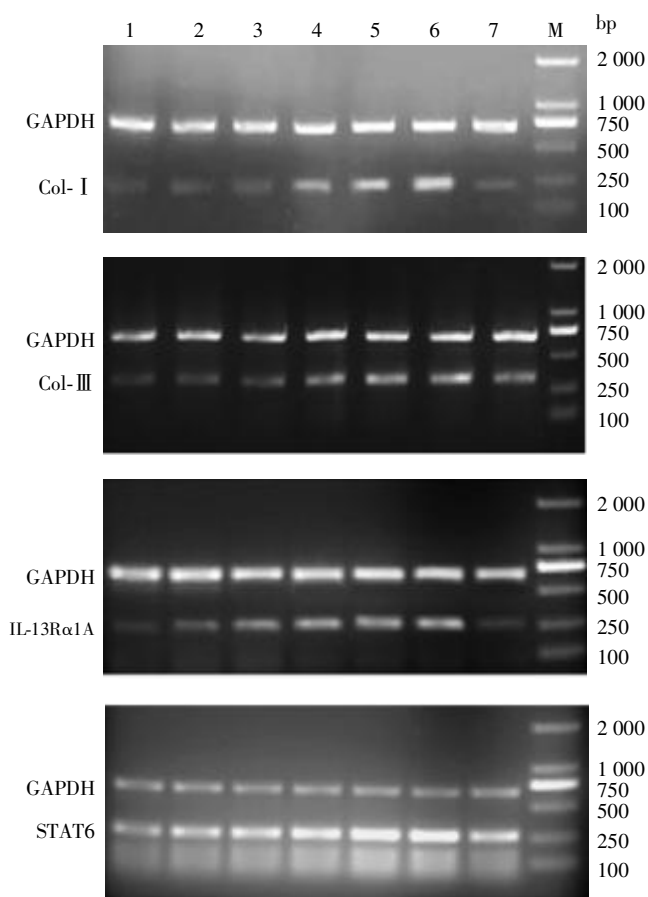
讨 论

在正常情况下，组织中的胶原合成与降解处于动态平衡。在外界的某些刺激因素作用下，若合成大于降解，则胶原蛋白在组织内过度沉积而发生纤维化。纤维化的形成受多个局部因子共同调控，其中 IL-13 是主要的促纤



A: A组 Group A; B: B组 Group B; C: C组 Group C; D: D组 Group D; E: E组 Group E; F: F组 Group F; G: G组 Group G.

图2 Western Blotting 检测 α-SMA、IL-13R α 1 和 STAT6 蛋白的表达
Fig.2 Level of α-SMA, IL-13R α 1 and STAT6 detected by Western blotting



1: G组 Group G; 2: F组 Group F; 3: E组 Group E; 4: D组 Group D; 5: C组 Group C; 6: B组 Group B; 7: A组 Group A.

图3 RT-PCR 检测 Col- I 、Col-III 、IL-13R α 1 和 STAT6 mRNA 的转录水平
Fig.3 Level of Col- I , Col-III , IL-13R α 1 and STAT6 mRNA determined by RT-PCR

化因子之一，而成纤维细胞是主要的产纤维细胞。IL-13 作用于成纤维细胞膜表面复合受体 IL-4R/IL-13R α 1，通过 IL-13/STAT6 信号通路，启动胶原基因的转录，发挥促纤维化的作用^[4,5]。组织的纤维化与肝脏、皮肤纤维化和气道高反应等多种疾病相关^[10,11]。因此，对纤维化和抗纤维化机制的探索，具有重要的临床意义。

本研究小组已证实，患日本血吸虫病小鼠的肝肉芽肿中 IL-13 的表达量明显增高，且 IL-13 表达量与肝纤维化程度、活化的成纤维细胞数量成正相关；给予芍药苷后，肝组织中的肉芽肿大小、纤维化程度、IL-13 含量，以及活化的成纤维细胞数量均明显减少。有研究表明，芍药苷可通过影响 TGF β 1/SMADs 信号转导通路而减轻日本血吸虫病小鼠肝纤维化反应^[8]。本研究显示，芍药苷可通过影响 IL-13/STAT6 信号转导通路来抑制成纤维细胞的增殖，激活和产生胶原。这一发现丰富了对成纤维细胞产生胶原，以及芍药苷抗纤维化机制的认识。

为避免培养液中的血清成分影响本研究结果，在实验前 12 h 给细胞换用无血清的培养液。为了解芍药苷对成纤维细胞增殖的影响，用芍药苷干预经 rIL-13 刺激或不经 rIL-13 刺激的 3T3 细胞。结果显示，不管 3T3 细胞是否经 rIL-13 刺激，芍药苷均能浓度依赖性地抑制其增殖。提示芍药苷可能通过抑制 IL-13/STAT6 信号转导通路和其他信号通路来控制细胞的增殖。此外，本研究发现 rIL-13 能浓度依赖性地促进 3T3 细胞增殖，结合 rIL-13 能明显促进 3T3 细胞 α-SMA 蛋白表达，可能是在血吸虫病肝纤维化的组织中，IL-13 表达量与活化的成纤维细胞数量成正相关的原因。

为了解 IL-13 对胶原产生的影响以及芍药苷是否对细胞产生胶原具有抑制作用，本实验选择 100 μ g/L rIL-13 刺激 3T3 细胞，再用芍药苷干预。结果显示，rIL-13 不仅促进细胞分泌羟脯氨酸，而且在基因转录水平促进细胞中 Col-I 和 Col-III 的表达，而芍药苷能浓度依赖性地抑制羟脯氨酸的分泌以及 Col-I 和 Col-III 的表达。提示，芍药苷通过抑制成纤维细胞的增殖和胶原的产生来抑制纤维化。

芍药苷是否通过抑制成纤维细胞的 IL-13/STAT6 信号转导通路而影响胶原的产生呢？本研究结果提示，芍药苷能明显抑制 rIL-13 促进的 IL-13R α 1 和 STAT6 蛋白表达和基因转录。说明芍药苷可能通过抑制 IL-13/STAT6 信号转导通路中的受体 IL-13R α 1 和其下游信号分子 STAT6 来抑制胶原的产生，从而起到抗纤维化的作用。

本实验从细胞 IL-13/STAT6 信号转导通路着手，在体外用 rIL-13 刺激成纤维细胞，观察细胞增殖、活化和胶原产生情况，然后用中药芍药的单体成分芍药苷干预该细胞，证实了芍药苷通过抑制 IL-13/STAT6 信号转导通路而抑制成纤维细胞的增殖、活化和胶原

产生,为进一步探索纤维化发生机制,开发高效、低毒的抗纤维化药物进行了尝试,并为芍药苷未来用于治疗纤维化疾病提供了理论和实验依据。

参 考 文 献

- [1] Juntila IS, Mizukami K, Dickensheets H, et al. Tuning sensitivity to IL-4 and IL-13: differential expression of IL-4R α , IL-13R α 1, and γ c regulates relative cytokine sensitivity[J]. J Exp Med, 2008, 205(11): 2595-2608.
- [2] Weng HL, Liu Y, Chen JL, et al. The etiology of liver damage imparts cytokines transforming growth factor-1 or interleukin-13 as driving forces in fibrogenesis[J]. Hepatology, 2009, 50(1): 230-243.
- [3] Shinozaki S, Mashima H, Ohnishi H, et al. IL-13 promotes the proliferation of rat pancreatic stellate cells through the suppression of NF- κ B/TGF- β 1 pathway[J]. Biochem Biophys Res Commun, 2010, 393(1): 61-65.
- [4] Szanto A, Balint BL, Nagy ZS, et al. STAT6 transcription factor is a facilitator of the nuclear receptor PPAR γ -regulated gene expression in macrophages and dendritic cells[J]. Immunity, 2010, 33(5): 699-712.
- [5] Shi X, Cai W, Zhou Y, et al. IL-13 upregulates GPIIb expression in megakaryocytic cell lines via STAT6[J]. Anat Rec (Hoboken), 2010, 293(9): 1470-1476.
- [6] Liu B, Yang ZY, Wei W. Determination of paeoniflorin in rat plasma by LC-MS/MS and its pharmacokinetics [J]. Acta Univ Med Anhui, 2009, 44(6): 707-711. (in Chinese)
- (刘斌, 杨昭毅, 魏伟. LC-MS/MS 测定大鼠血浆中芍药苷及其药物动力学特征[J]. 安徽医科大学学报, 2009, 44(6): 707-711.)
- [7] Gao BY, Yang YP, Luo WF, et al. Paeoniflorin, a potent natural compound, protects PC12 cells from MPP+ and acidic damage via autophagic pathway[J]. J Ethnopharmacol, 2010, 131(1): 122-129.
- [8] Chu DY, Li CL, Yang F, et al. Effect of paeoniflorin on hepatic immunopathogenesis in mice with *Schistosoma japonicum* infection[J]. Chin J Parasitol Parasit Dis, 2008, 26(1): 10-15. (in Chinese)
- (储德勇, 李丛磊, 杨帆, 等. 芍药苷对日本血吸虫感染小鼠肝组织免疫病理的影响[J]. 中国寄生虫学与寄生虫病杂志, 2008, 26(1): 10-15.)
- [9] Li X, Shen J, Zhong Z, et al. Paeoniflorin: a monomer from traditional Chinese medical herb ameliorates *Schistosoma japonicum* egg-induced hepatic fibrosis in mice[J]. J Parasitol, 2009, 95(6): 1520-1524.
- [10] Mitaka K, Miyazaki Y, Yasui M, et al. Th2-biased immune responses are important in a murine model of chronic hypersensitivity pneumonitis[J]. Int Arch Allergy Immunol, 2010, 154(3): 264-274.
- [11] Ferreira CM, Pereira AT, de Souza RS, et al. Role of IL-13 in a model of *Strongyloides venezuelensis* infection in rats[J]. Microbes Infect, 2010, 12(5): 409-414.

(收稿日期: 2010-10-26 编辑: 杨频)

文章编号: 1000-7423(2011)-02-0098-03

【研究简报】

棘阿米巴土壤分离株 CB/S1 内共生细菌的 16S rDNA 序列分析

玄英花, 崔春权, 郑善子*

【摘要】用地衣红-卡红染色进行共生菌的形态观察,鉴定棘阿米巴 CB/S1 内共生细菌。克隆内共生细菌的 16S rDNA 基因,进行基因序列分析。结果表明,经地衣红-卡红染色棘阿米巴 CB/S1 内共生细菌呈黑色和棒状,在胞质内不规则分布。棘阿米巴 CB/S1 内共生细菌的 16S rDNA 基因长 1534 bp,与类亚洲嗜阿米巴杆菌(*Candidatus Amoebophilus asiaticus* 5a2)和韩国棘阿米巴分离株 KA/E21 内共生细菌的 16S rDNA 基因的同源性均为 98%。进化树分析表明,棘阿米巴 CB/S1 内共生细菌与韩国棘阿米巴 KA/E21 内共生细菌、类亚洲嗜阿米巴杆菌、黑脚硬蜱内共生细菌和伯恩蚜小蜂内共生细菌等细菌构成单系。

【关键词】 棘阿米巴; 16S rDNA; 内共生细菌; 类亚洲嗜阿米巴杆菌

中图分类号: R382.1 文献标识码: B

Sequence Analysis of 16S rDNA Gene of Endosymbiont of *Acanthamoeba* sp. CB/S1 Isolated from Soil

XUAN Ying-hua, CUI Chun-quan, ZHENG Shan-zi*

(Department of Pathogenic Biology, College of Basic Medicine, Yanbian University, Yanji 133000, China)

【Abstract】 The endosymbiont of *Acanthamoeba* sp. CB/S1 was identified by orcein-carmine staining and 16S rDNA sequence analysis. The endosymbiont bacteria were rod-shaped and darkly stained, and irregularly localized within the cytoplasm. The length of the 16S rDNA was 1 534 bp and its DNA sequence was closely related to those of *Candidatus*

基金项目: 吉林省教育厅科技项目 (No. 2006-6)

作者单位: 延边大学基础医学院免疫学与病原生物学教研部, 延吉 133000

* 通讯作者, E-mail: szzheng@ybu.edu.cn